

Компьютерная оценка формы графита в высокопрочном, ковком и сером чугунах

Показана возможность компьютерной количественной оценки формы включений графита в высокопрочном, ковком и сером чугунах. Разработан комплексный критерий оценки формы включений, обеспечивающий сопоставимость с результатами визуальных оценок по эталонам действующих стандартов.

Ключевые слова: чугун, форма графита, компьютерный анализ

При классификации графитных включений (ГВ) в высокопрочном (ВЧ), ковком (КЧ) и сером (СЧ) чугунах в соответствии с ГОСТ 3443-87 [1] исходят из сравнительной визуальной оценки реальных микроструктур со шкалами эталонных изображений. Такой метод сопряжен с риском субъективности оценок вследствие ограниченного количества эталонов в шкалах и многообразия реальных форм ГВ даже в чугунах одного и того же вида.

В связи с этим большое значение имеет точность сопоставления исследуемой структуры с эталоном соответствующей шкалы. Иными словами, точность визуального распознавания микрофотографии с включениями графита для идентификации ее по шкалам ГОСТ 3443-87. Принципы, особенности и недостатки сопоставительного распознавания микроструктур до настоящего времени не нашли должного освещения в публикациях по литейному металловедению. Эффективность визуального сравнения эталонов шкал микроструктуры с анализируемыми структурами целесообразно рассматривать не только с позиций профессиональных навыков, но и с учетом психологических аспектов, а также визуальных особенностей распознавания изображений и их идентификации с эталонными структурами шкал.

Важнейшей функцией восприятия является распознавание зрительных конфигураций, ведущее, в частности, к узнаванию предметов и их категоризации, то есть отнесению к той или иной группе [2]. Предпосылкой того, что сечение ГВ на микрофотографии вообще будет идентифицировано, является его выделение в качестве фигуры из окружающего фона микрофотографии.

В числе основных факторов, влияющих на точность распознавания, – глобальное сходство, определяемое такими признаками, как распределение, форма и размеры ГВ. Небольшие различия элементов структуры практически не замечаются при узнавании, однако они служат хорошей основой для дифференциации соответствующих структур [2].

Одно из направлений решения задачи визуального распознавания микроструктур – идентификация «нечетких дубликатов» изображений и их фрагментов, то есть не строго совпадающих с эталоном.

Классификация «нечетких дубликатов» изображений по группам дает возможность выполнить задачу идентификации микроструктуры ГВ и соотнести их со шкалами ГОСТ 3443-87 с определенным уровнем вероятности такой оценки.

В качестве «нечетких дубликатов» могут рассматриваться изображения микроструктур, отличающиеся разрешением или наличием шума в виде нехарактерных мелких фрагментов случайных сечений ГВ. Фактически задача идентификации изображений микроструктур – сравнение их с визуальным образцом-эталоном, являющимся «четким дубликатом». В основном применение анализа по визуальному образцу реализуется в областях, где сходство важнее, чем семантика: в медицинских коллекциях, например, среди рентгеновских снимков; в дизайнерских коллекциях; в архивах правоохранительных органов [3]. Весьма сложной проблемой, затрудняющей эффективное и однозначное решение задачи поиска для анализа в коллекции изображений, является отсутствие однозначной связи между низкоуровневыми характеристиками и семантикой изображения. При этом увеличивается вероятность ошибок вследствие субъективности оценок. Значительно упростить задачу распознавания и идентификации графитных структур по ГОСТ 3443-87 может создание расширенных баз данных путем подбора «четких дубликатов» соответствующим шкалам эталонов. Однако их создание усложняется вследствие отсутствия общих, универсальных методов, подходящих для любых коллекций, наборов изображений. Для разных коллекций и разных задач необходимы свои методы обработки и поиска. Так, например, у коллекции рентгеновских снимков свои специфичные особенности, которые не дают возможности использовать методы, подходящие для анализа любительских фотографий. Безусловно, специфичные особенности имеют и микрофотографии графитных структур.

Активная разработка методов поиска, распознавания и идентификации на основе визуального образца началась в начале 90-х годов. За это время предложили множество различных методов выделения признаков изображений и сравнения полученных представлений. Так, например, для поиска изображений

по визуальному образцу предлагали использовать структуры данных инвертированных файлов и схемы определения весов признаков на основании частот встречаемости признаков в изображении-запросе и всей коллекции изображений [3].

Важнейшая задача при построении любой системы поиска и анализа изображений – выбор наиболее информативного их представления. В статье [4] предложена методика разработки алгоритма оценки визуальной близости пары изображений на основе машинного обучения. В работе [5] разработан алгоритм поиска изображений на основе нечетких главных цветовых гистограмм и набора дополнительных гистограмм, построенных для определенных участков изображения. В статье [6] использованы уменьшенные копии изображений для поиска похожих снимков. В основу работы положен тот факт, что человеческое восприятие позволяет с хорошей точностью понимать содержание изображений с маленьким разрешением. Для цветных изображений человеку достаточно разрешения 32×32 , чтобы достичь точности распознавания превышающей 80 %. В работе [3] проанализированы признаки цветовых автокоррелограмм, гистограммы ориентаций градиентов и др.

Таким образом, существует достаточно большое количество признаков, которые можно использовать в задачах поиска и сопоставления изображений по визуальному образцу. Тем не менее, большинство работ включают лишь часть существующих признаков изображений, комбинируя их и разрабатывая на их основе сигнатуры – правила, приемы и рекомендации. В связи с тем, что многие признаки могут быть взаимосвязаны между собой, важной задачей является их рациональный отбор.

Поиск изображений по визуальному образцу заключается в извлечении существенных свойств изображений и построении на их основе сигнатур, используемых в дальнейшем для сравнения пар изображений. В каждую пару всегда входит изображение из коллекции и изображение-образец, подобное которому стремится найти или идентифицировать пользователь. Результатом сравнения является величина, называемая визуальным подобием изображений [4].

Опыт создания сигнатур для применения в производственной и исследовательской практике визуальной классификации ГВ в соответствии с ГОСТ 3443-87 отсутствует. Отдельные решения используются в компьютерных комплексах для металлографических исследований, а также в разработках по компьютерному распознаванию образов. Последние, имеющие большие перспективы и требующие весьма длительного этапа «самообучения», нашли практическое применение в материаловедении.

Рассмотренные особенности и проблемы визуальной идентификации структур ГВ по эталонам ГОСТ 3443-87 ставят перед необходимостью поиска достаточно простых инженерных путей решения проблемы, которые позволят выполнять сравнение пар микроструктур с допустимой (заданной) вероятностью точности распознавания.

В качестве определяющих признаков для пар (эталон – сопоставляемое изображение микроструктуры с включениями графита) наиболее эффективным может быть применение различных усредненных количественных оценок формы ГВ. Именно соответствие таких количественных признаков эталона и оцениваемой микроструктуры на основе достаточно высокой тесноты корреляционной связи может исключить или значительно снизить степень субъективности оценки формы ГВ и, соответственно, классификационной ошибки при идентификации микроструктуры по ГОСТ 3443-87. Опыт использования количественных признаков из шкалы эталонов и оцениваемой микроструктуры компактных форм графита в высокопрочном чугуне опубликован в работах [7, 8].

Наибольшее распространение в прикладном литеином металловедении нашел подход к описанию размерно-топологических характеристик структуры с использованием безразмерных факторов формы или индекса формы ГВ в высокопрочном чугуне. Эти методы снижают риск фактора субъективности при классификации ГВ [9-12]. Однако для оценки формы графита в ковком и сером чугунах надежных аналитических методов не существует.

В последние годы все большее распространение получают различные аналитические компьютеризированные комплексы, предназначенные для металлографических исследований – «Квантимет-720», «Thixomet PRO», «Эпиквант» и др. Тем не менее, остается нерешенной проблема разработки и использования более доступных некоммерческих программ для компьютерной оценки структуры металла и формы графита, как одной из определяющих характеристик эффективности всего технологического процесса производства отливок из чугунов разных видов.

Цель данной работы – разработка обобщенного критерия для компьютерной идентификации формы ГВ в высокопрочном, ковком и сером чугунах с оценкой статистически значимой взаимосвязи этого критерия с эталонными изображениями шкал графитных структур по ГОСТ 3443-87.

Методика проведения исследования. Для количественной оценки различных индивидуальных и обобщенных характеристик ГВ в эталонных шкалах графитных структур по ГОСТ 3443-87 использовали компьютерную программу ImageJ (Freeware). Программа ImageJ – бесплатный инструмент для обработки цифровых изображений [13, 14]. Она может работать в виде либо онлайн-апплета, либо загружаемого приложения на любом компьютере с Java 1.4 или более поздней версией виртуальной машины.

Программа может отображать, редактировать, анализировать, обрабатывать, сохранять и распечатывать 8-, 16- и 32-битные изображения. Она может читать многие форматы изображений, включая TIFF, GIF, JPEG, BMP, PNG, PGM, DICOM, FITS, RAW и др. Программа является многопоточной и одновременно может выполнять такие операции, как чтение файла изображения параллельно с другими операциями обработки.

Для загрузки в программу изображений исследуемых объектов использовали микрофотографии-

эталоны из шкал ГОСТ 3443-87 (рис. 1, 2 – верхний ряд), предварительно переведенные из серых полутона в черно-белые изображения. Эти изображения последовательно загружали в программу ImageJ (рис. 3, а, б), преобразовывали в 8-битный формат, бинаризировали и в результате получали контурные копии исходных ГВ с нумерацией (рис. 1, 2 – нижний ряд).

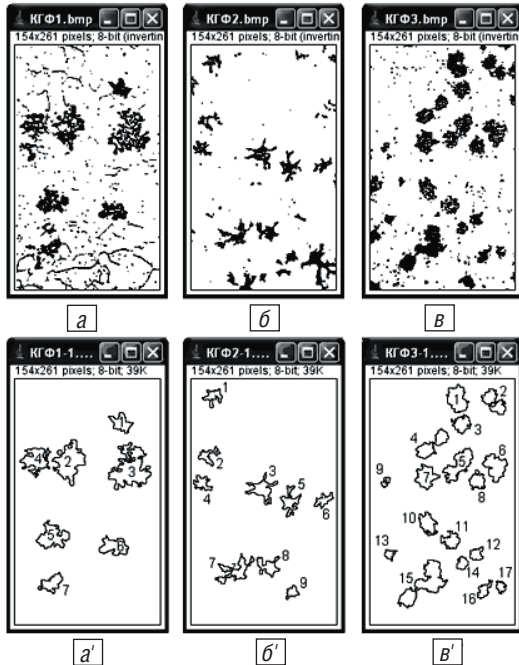


Рис. 1. Эталонные шкалы (а–в) и их контурные (а'–в') изображения графита в КЧ

Основные стадии обработки микроструктуры и соответствующие им команды в программе ImageJ выполняются в следующей последовательности.

1. Открытие файла микроструктуры для преобразований и анализа: *File => Open...*

2. Конвертирование изображения в 8-битный формат: *Image => Type => 8-bit*.

3. Бинаризование изображения: *Process => Binary => Make Binary*.

4. Переход в меню анализа частиц графита: *Analyze => Analyze Particles* (рис. 3, в).

5. В открывшейся вкладке задаются параметры для анализа: ограничение на минимальную площадь анализируемых частиц (Size); интервал учитываемых значений фактора формы (Circularity); трансформирование изображения в контурное (Outlines).

6. После подтверждения заданных параметров микроструктуры графита на дисплей выводятся контурные изображения исследуемых включений с нумерацией для последующей идентификации их с индивидуальными количественными оценками в результирующем файле (рис. 3, г).

7. Далее задаются параметры файла с результатами анализа (Results) перед их сохранением (качество изображения в формате JPEG, расширение файла таблицы *xls* и др.): *File => Options*.

8. Для сохранения файла результатов Results указывают соответствующую папку и выполняют команды: *Files => Save as Text*. В результате числовые зна-

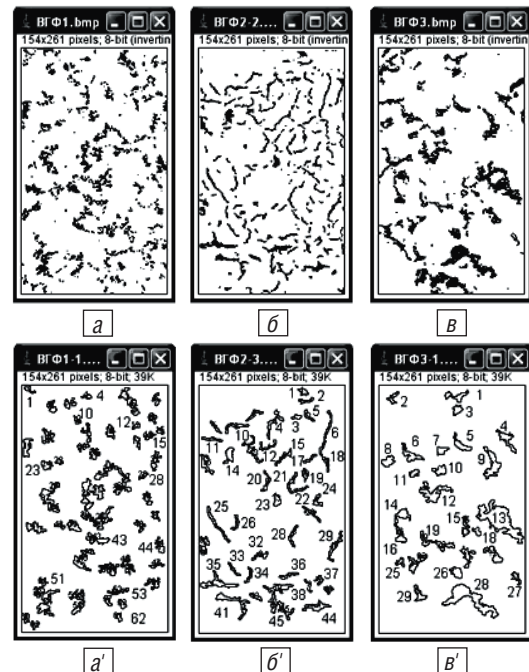


Рис. 2. Эталонные шкалы (а–в) и их контурные (а'–в') изображения графита в ЧВГ

чения заданного перечня характеристик микроструктуры графита автоматически заносятся в таблицу.

9. Для сохранения обобщающего файла результатов анализа (Summary) определяют соответствующую папку и выполняют команды: *File => Save As*.

В качестве индивидуальных параметров оценки формы всех ГВ использовали: фактор формы

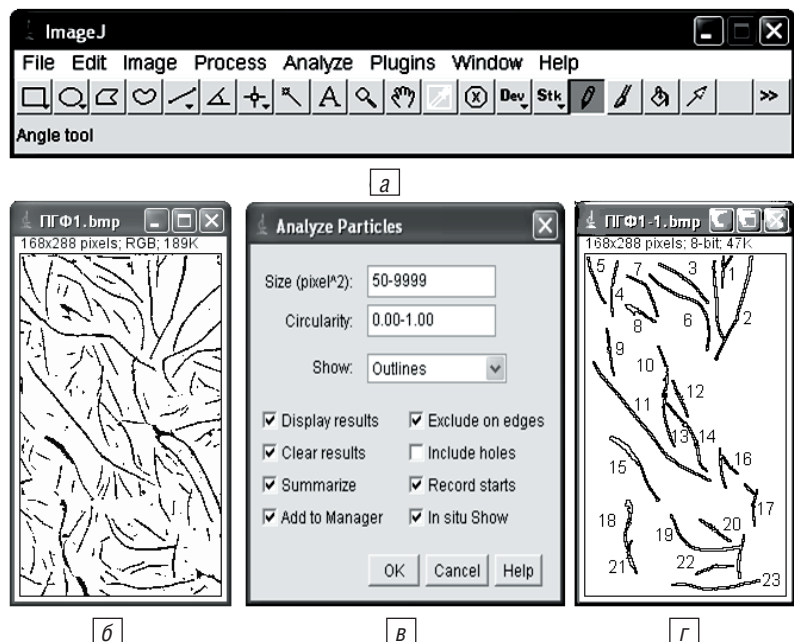


Рис. 3. Интерфейс программы (а); исходная структура графита в СЧ (б); меню *Analyze Particles* (в); контурная структура графита в СЧ (г)

$C = 4\pi P/p^2$; окружность $R = 4P/\pi L^2$; плотность $S = P/P_{\text{вн}}$, где P – площадь ГВ; $P_{\text{вн}}$ – площадь выпуклой области, охватывающей ГВ; p – периметр; L^2 – главная ось включения. Для вывода значений этих параметров в итоговую таблицу необходимо внести соответствующие установки в меню *Analyze – Set Measurements – Analyze Particles* (рис. 3, *в*).

Для очистки эталонных шкал микроструктур от мелких, нехарактерных фрагментов графита, создающих «фоновый шум» (рис. 3, *б*), в этом меню программы в окне *Size* указывали нижнюю границу размеров графитных включений (рис. 3, *в*), что в результате отражается на их контурных изображениях с автоматически проставляемой нумерацией (рис. 3, *г*).

Результаты исследования. Корреляционный анализ взаимосвязи индивидуальных и комплексных параметров формы ГВ с порядковыми номерами $N_{\text{эш}}$ эталонных структур графита (ЭСГ) по шкалам ГОСТ 3443-87 (табл. 1) показал следующие результаты (рис. 4, 5): ЭСГ – $f(C)$, $r = 0,80$; ЭСГ – $f(R, S)$, $r = 0,94$; ЭСГ – $f(R)$, $r = 0,87$; ЭСГ – $f(C, R, S)$, $r = 0,92$; ЭСГ – $f(S)$, $r = 0,93$.

Как следует из приведенных данных, наибольшую тесноту связи с порядковыми номерами $N_{\text{эш}}$ эталонных шкал графитных включений по ГОСТ 3443-87 имеет комплексный критерий – параметр формы (Π_{ϕ}) графитных включений на основе усредненных значений окружности R и плотности S графитных включений (рис. 5, *б*). Среди индивидуальных Π_{ϕ} наиболее слабая связь ($r = 0,80$) наблюдается для фактора формы (рис. 4, *а*), а наиболее тесная ($r = 0,93$) – для плотности (рис. 4, *в*). Уравнение регрессии, характеризующее взаимосвязь Π_{ϕ} графитных включений с $N_{\text{эш}}$, имеет вид

$$\Pi_{\phi} = 0,038N_{\text{эш}} + 0,27 \pm 0,06. \quad (1)$$

Форму взаимосвязи $N_{\text{эш}}$ с Π_{ϕ} можно представить в виде

$$N_{\text{эш}} = 23,3\Pi_{\phi} - 5,42 \pm 1,51. \quad (2)$$

Пример. Необходимо определить, какому эталону шкалы ГОСТ 3443-87 соответствуют микроструктуры графита в образцах КЧ-1 и КЧ-2 отливки из ковкого чугуна, приведенные на рис. 6, *а*, *в*.

В соответствии с процедурой работы в программе ImageJ, изложенной выше, найдены средние значения трех основных характеристик формы включений графита для этих микроструктур (табл. 2).

На рис. 5, *б* в диапазоне шкалы для ковких чугунов находим для микроструктуры КЧ-1 (рис. 6, *а*, *в*)

Соотношение $N_{\text{эш}}$ и эталонов шкал ГОСТ 3443-87 на рис. 4, 5

| $N_{\text{эш}}$ | Эталон шкалы ГОСТ 3443-87 | $N_{\text{эш}}$ | Эталон шкалы ГОСТ 3443-87 | $N_{\text{эш}}$ | Эталон шкалы ГОСТ 3443-87 |
|-----------------|---------------------------|-----------------|---------------------------|-----------------|---------------------------|
| 1 | ПГф1 | 6 | ВГф2 | 11 | ШГф1 |
| 2 | ПГф2 | 7 | ВГф3 | 12 | ШГф2 |
| 3 | ПГф3 | 8 | КГф1 | 13 | ШГф3 |
| 4 | ПГф4 | 9 | КГф2 | 14 | ШГф4 |
| 5 | ВГф1 | 10 | КГф3 | 15 | ШГф5 |

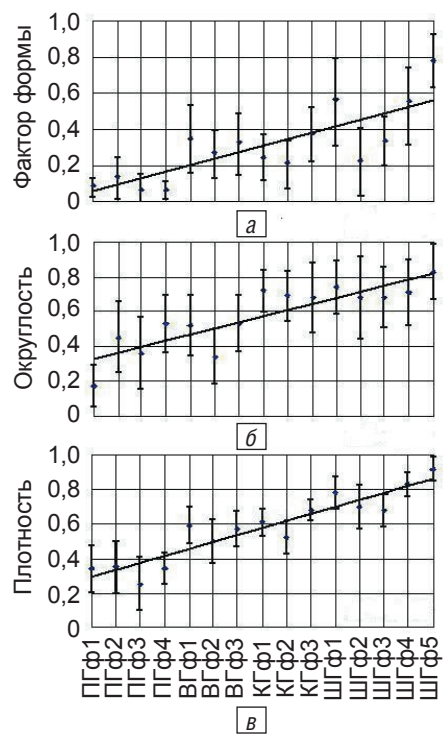


Рис. 4. Соотношение эталонных структур ГВ в разных чугунах по ГОСТ 3443-87 с фактором формы (а); окружностью (б) и плотностью (в) этих включений

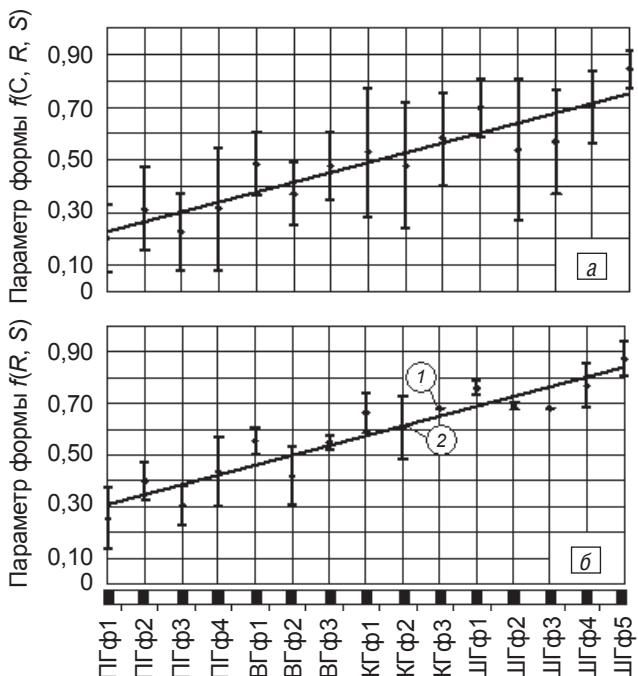


Рис. 5. Соотношение эталонных структур ГВ в разных чугунах по ГОСТ 3443-87 с комплексными параметрами формы: $f(C, R, S)$ (а); $f(R, S)$ (б)

Таблица 1

эталон КГф3, а для микроструктуры КЧ-2 (рис. 6, *в*, *г*) – эталон КГф2. Эти результаты отмечены на рис. 5, *б* соответственно цифрами 1 и 2.

Используя выражение (2) и значения $\Pi_{\phi_1} = 0,68$ и Π_{ϕ_2} из табл. 2, расчетным путем можно найти номера $N_{\text{эш}}$ эталонов шкалы ГОСТ 3443-87 для этого примера:

Таблица 2

Определение фактора формы (C), округлости (R) и плотности (S) ГВ

| Индекс микроструктуры | Количество ГВ, n | Средние значения | | | $\Pi_{\phi} = (R+S)/2$ |
|-----------------------|--------------------|------------------|------|------|------------------------|
| | | C | R | S | |
| КЧ -1 | 12 | 0,24 | 0,70 | 0,65 | 0,68 |
| КЧ -2 | 20 | 0,29 | 0,59 | 0,62 | 0,61 |

Традиционное визуальное со-поставление графитных структур КЧ-1 и КЧ-2 с эталонными шкала-ми КГф3 и КГф2 для ковкого чугуна свидетельствует о приемлемой адекватности расчетных данных для данного примера.

Проведенный анализ статистической зависимости между эталонами шкал ГВ и расчетными их па-раметрами дал возможность установить регрессионно-корреляционную связь между комплексным параметром формы Π_{ϕ} и порядковым номером $N_{\text{эш}}$ эталонных структур из шкал ГОСТ 3443-87. Наличие графической (рис. 5, б) и аналитической (в виде уравнений регрессии (1)-(2)) форм такой взаимосвязи позволяет выполнять практически «прецзионное» по сравнению с визуальным методом компьютерное сопоставление реальных ГВ с эталонными структу-рами шкал ГОСТ 3443-87, и наоборот, – переходить от эталонных структур к комплексному параметру формы Π_{ϕ} (рис. 5, б).

Выводы

Разработана методика оценки формы графита по комплексному критерию в чугунах с разной фор-мой графита на основе некоммерческой программы ImageJ.

Установлена корреляционная взаимосвязь между комплексным критерием формы и соответствующим эталоном шкалы для оценки формы графита по ГОСТ 3443-87.

Предложены графические зависимости для пе-рехода от значений комплексного критерия формы графита к соответствующим эталонным структурам шкал ГОСТ 3443-87, и наоборот, – от эталонных структур к комплексному параметру формы.

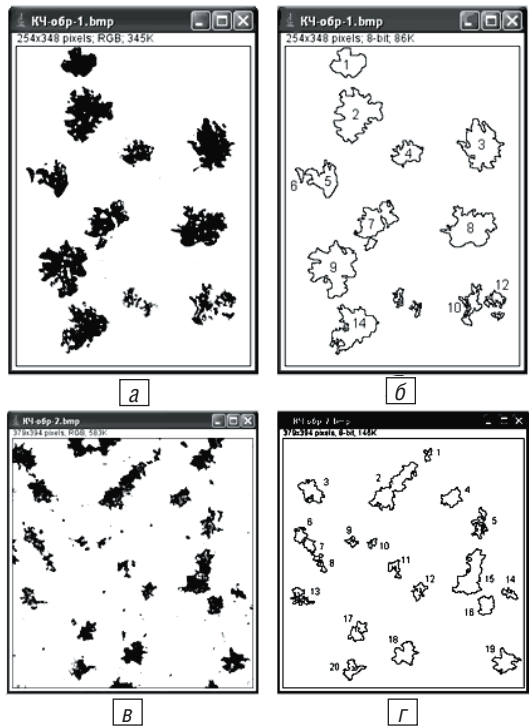
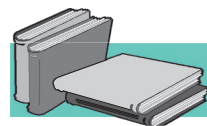


Рис. 6. Структура включений графита в контрольных образцах КЧ (а, в) и их контурные изображения (б, г)

$N_{\text{эш}1} = 10,42 \pm 1,51$ и $N_{\text{эш}1} = 8,79 \pm 1,51$. По табл. 1 на-ходим соответствующие этим номерам эталоны шка-лы КГф3 и КГф2 для ковкого чугуна.



ЛИТЕРАТУРА

1. Отливки из чугуна с различной формой графита. Методы определения структуры. – ГОСТ 3443-87. – М.: ФГУП «Стан-дартинформ», 2005. – 42 с.
2. Величковский Б. Когнитивная наука: Основы психологии познания. – Режим доступа: http://www.gumer.info/bibliotek_Buks/Psihol/velich/03.php.
3. Мельниченко А., Гончаров А. Методы поиска изображений по визуальному подобию и детекции нечетких дубли-катов изображений // ЛММИИ на РОМИП. Тр. РОМИП (Петрозаводск, 16 сентября 2009 г.) – С.-Пб.: НУ ЦСИ, 2009. – С. 108-121.
4. Варламов А. Д., Шарапов Р. В. Поиск визуально подобных изображений на основе машинного обучения // Тр. 14-й Всерос. научн. конф. «Электронные библиотеки: перспективные методы и технологии, электронные коллекции». (15-18 октября 2012). – Переславль-Залесский (Россия): RCDL-2012. – С. 113-120.
5. Пименов В. Ю. Простые методы поиска изображений по содержанию // Рос. семин. по оценке методов информацион-ного поиска. Тр. РОМИП. (15 октября 2010 г.) – Казань, 2010. – С. 69-79.
6. Яндекс на РОМИП 2010: Поиск похожих изображений и дубликатов / А. В. Слесарев, И. Б. Мучник, Д. К. Михалев и др. // Российский семинар по оценке методов информационного поиска. Тр. РОМИП. (15 октября 2010 г.) – Казань, 2010. – С. 148-153.
7. Соценко О. В., Куркострига И. А., Посыпайко И. Ю. Компьютерная оценка формы графита в высокопрочном чугуне // Процессы литья. – 2010. – № 6. – С. 33-40.
8. Соценко О. В. Оперативный контроль формы графитных включений в высокопрочном чугуне // Компрессорное и энер-гетическое машиностроение. – 2012. – № 4 (30). – С. 49-53.

9. Соценко О. В. Оценка компактности включений графита в высокопрочном чугуне // Литейн. пр-во. – 1982. – № 6. – С. 5-7.
10. Литовка В. И. Повышение качества высокопрочного чугуна в отливках. – Киев: Наук. думка, 1987. – 206 с.
11. Волчок И. П. Сопротивление разрушению стали и чугуна. – М.: Металлургия, 1993. – 192 с.
12. Макаренко К. В. Идентификация графитных включений в чугунах // Литейн. пр-во. – 2009. – № 4. – С. 2-4.
13. ImageJ. Image Processing and Analysis in Java. – Режим доступа: <http://rsb.info.nih.gov/ij>.
14. ImageJ 1.43m. Processing and Analysis in Java. – Режим доступа: http://portablevv07.ucoz.ru/news/imagej_143m/2009-12-09-1637.

Анотація

Соценко О. В.

Комп'ютерна оцінка форми графіту у високоміцному, ковковому та сірому чавунах

Показано можливість комп'ютерної кількісної оцінки форми включень графіту в високоміцному, ковковому та сірому чавунах. Розроблено комплексний критерій оцінки форми включень, що забезпечує порівняння з результатами візуальних оцінок за еталонами діючих стандартів.

Ключові слова

чавун, форма графіту, комп'ютерний аналіз

Summary

Sotsenko O. V.

Computer evaluation of graphite form in high-duty, malleable and gray cast irons

The possibility of quantitative evaluation of computer forms of graphite in ductile, gray and malleable cast irons. A complex evaluation criteria form inclusions, which provides compatibility with the results of visual assessments of standards applicable standards.

Keywords

cast iron, the form of graphite, computer analysis

Поступила 20.05.13

Вниманию читателей и подписчиков!

Статьи в редакцию журнала «Металл и литье Украины»
необходимо присыпать по адресу:

Физико-технологический институт металлов и сплавов НАН Украины

Телефон: (044) 424-04-10, 424-34-50 факс: (044) 424-35-15

E-mail: mlu@ptima.kiev.ua сайт: www.ptima.kiev.ua